



( natural shale gas)

2 30 3, 8 %

. 2 [1, 2].

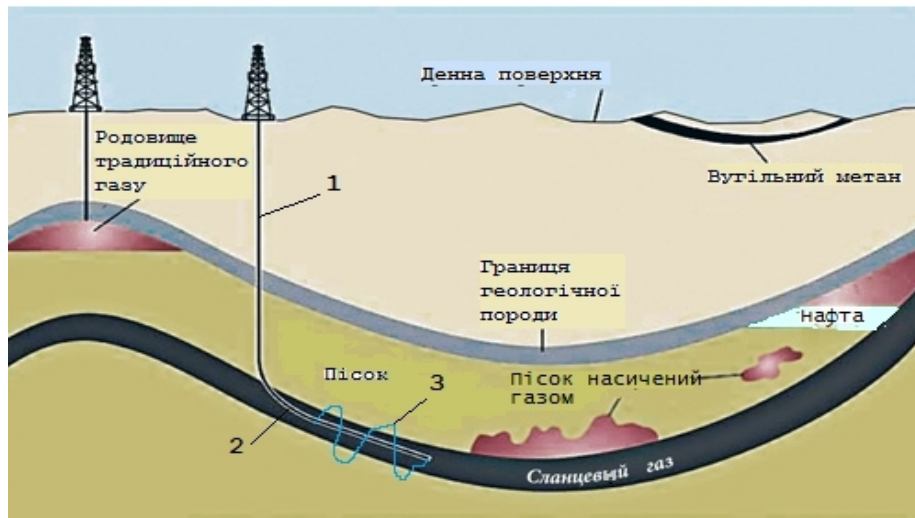


. 2. ; 3 - ; 4 - ; 5 - ; 1 - ; 2 -

		/ ,	,
	34153	6150-7600	7,6
	658	11000	13,2
	4244 <sup>3</sup>	9000	12,89
	2,5 <sup>3</sup>	7000-8000	18,2

: ( 1 4 ),

( . 3).



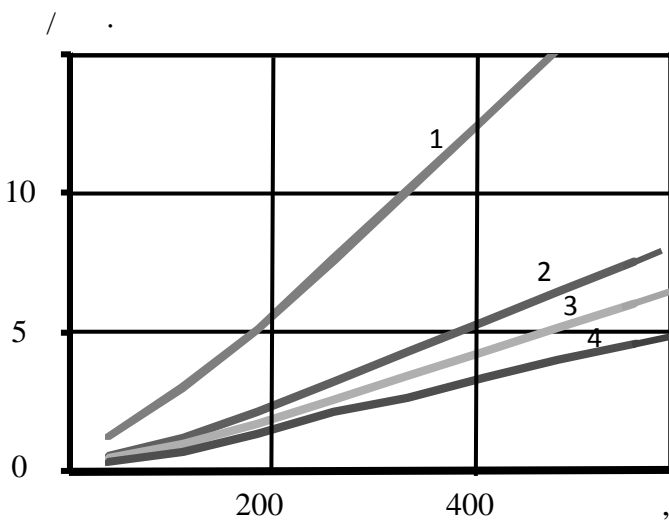
. 3. ; 3 – ; 1 – ; 2 –

, , : 98 %  
 - 2 %  
 , ,  
 2,5–4 , ,  
 1350 <sup>3</sup> , 4725 <sup>3</sup> 1 <sup>2</sup>.  
 , 79,3 , <sup>3</sup>  
 7 ,

. 4. , , :

$$F_1(x) = 0,011 \cdot x + 0,072; \quad F_2(x) = 8,441 \cdot 10^{-3} x + 0,087;$$

$$F_3(x) = 0,025 \cdot x + 0,020; \quad F_4(x) = 7,462 \cdot 10^{-3} x + 0,017.$$



. 4. : 1 – ; 2 – ; 3 – ; 4 –

[3].

$$Q = Q + k(W + 9H),$$

$k = \dots$ ;  $W = \dots$ ;  $H = \dots$

$$Q = 358 \cdot 4 + 640 \cdot 2 + 915 \cdot 3 + 1190 \cdot 4 + 1465 \cdot 5 + 126,5 \cdot 12 + 107,5 \cdot 2 + 234 \cdot 2S,$$

$$Q_c = \dots$$

$$Q = 29307,6n + 10048,32; \quad Q = 29307,6n + 10048,32.$$

[4].

10<sup>3</sup>

(5-10<sup>3</sup> 3000),

( 700 . <sup>3</sup>);  
10 <sup>3</sup> , 3 . ,  
600 ; <sup>2</sup>

,  
.  
,  
-  
, ,

2015–2020 . ,

1. / . . . , . . . // . . . , 1988.–234 .
2. . . . / . . . , . . . // . . . , 1989.–245 .
3. . . . / . . . , . . . // . . . , 1966.–492 .
4. . . . / . . . , . . . ; . . . : « » , 2002.–384 .

30.11.2011 .

. . . , . . .